



**Sismo del 04 de mayo de 2026
Pinotepa Nacional, Oaxaca, México (M5.6)
09:19:25 Hora Local**

**REPORTE PRELIMINAR
Parámetros del Movimiento del Terreno**

Elaboró:
Unidad de Instrumentación Sísmica
Coordinación de Ingeniería Sismológica
<https://www.uis.unam.mx/miembros/>

Ciudad de México
Mayo, 2026

www.iingen.unam.mx
www.uis.unam.mx

Versión Es1.1 04-05-2026

**El sismo está reportado en fecha y hora del Centro de México*

Información Básica

El 04 de mayo de 2026 se registró un sismo de magnitud M5.6 ubicado a 24 km al OESTE de Pinotepa Nacional, Oaxaca (Servicio Sismológico Nacional, 2026). El tiempo de origen del sismo fue a las 09:19:25 hora del centro de México (04 de mayo de 2026, 15:19:25 UTC). Su hipocentro se localizó a 9 km de profundidad, en la latitud 16.329°N y longitud 98.272°O (ver figura 1).

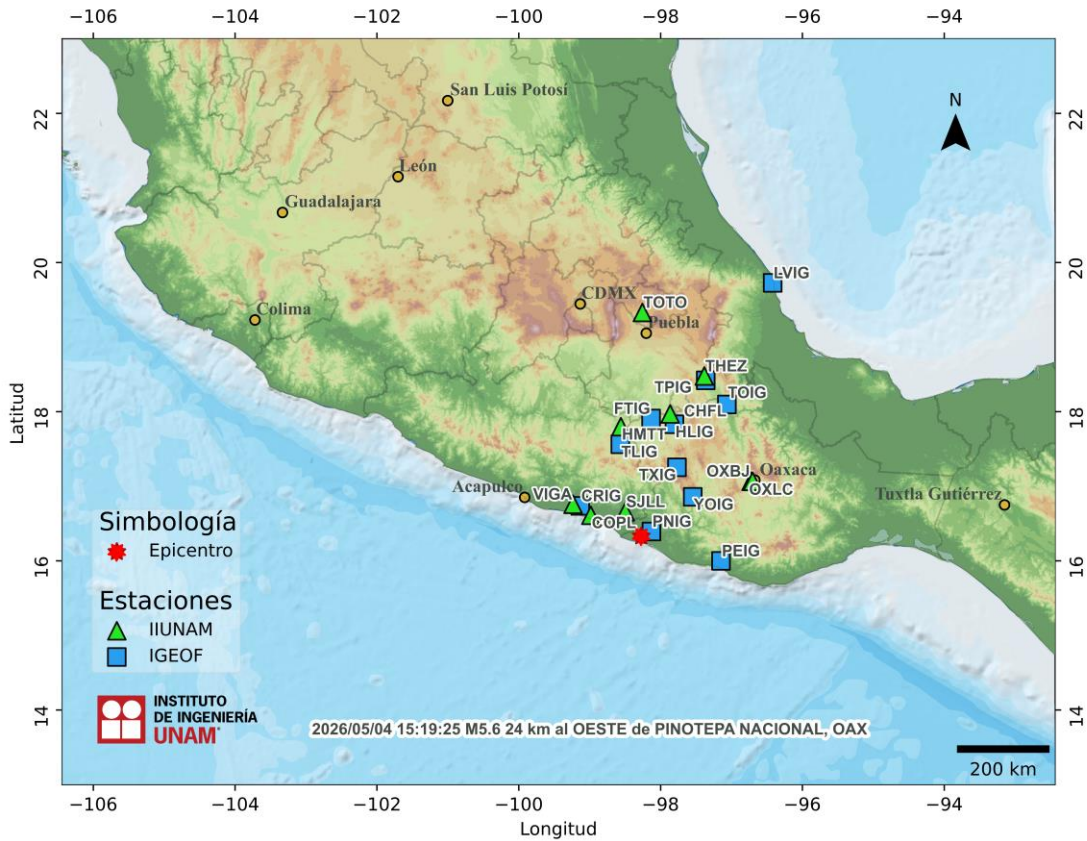


Figura 1. Epicentro del sismo del 04 de mayo de 2026 (M5.6) y estaciones sísmicas empleadas en la elaboración del mapa preliminar de PGA. Las estaciones pertenecientes a la Red Acelerográfica del Instituto de Ingeniería de la UNAM (IIUNAM) son operadas por la Unidad de Instrumentación Sísmica. Las estaciones IGEOF mostradas son operadas por el Servicio Sismológico Nacional.

Parámetros de Intensidad del Movimiento del Terreno

La tabla 1 presenta la localización geográfica de las estaciones de la Red Acelerográfica del Instituto de Ingeniería de la UNAM (RAII-UNAM) y la aceleración máxima del terreno (PGA) que se registró. Las señales, recibidas en tiempo real, provienen de estaciones ubicadas a una distancia epicentral que oscilan entre 44 y 581 km. La PGA máxima registrada en la Red Permanente de monitoreo del IINGEN, fue 411.97 cm/s² en la estación SAN JUAN DE LOS LLANOS (SJLL), ubicada a una distancia epicentral de 43.70 km. Los acelerogramas fueron corregidos por línea base y filtrados entre 0.1 y 20 Hz.

Tabla 1. Localización de las estaciones del IINGEN y valores máximos registrados

Clave	Estado	Localización		Distancia Epicentral (km)	PGA (cm/s ²)
		Latitud N (°)	Longitud O (°)		
SJLL	GRO	16.657822	98.498463	43.70	411.97
COPL	GRO	16.610810	98.983990	82.20	9.15
VIGA	GRO	16.758703	99.233268	113.10	8.86
HMTT	GRO	17.798341	98.559717	165.50	3.18
SMLC	OAX	16.654971	96.729233	168.60	1.66
VNTA	GRO	16.914260	99.818850	177.30	1.45
OXLC	OAX	17.065039	96.703157	186.10	2.97
CHFL	PUE	17.969493	97.865638	186.60	2.99
PANG	OAX	15.666837	96.490506	204.30	0.55
COYC	GRO	16.997788	100.089963	207.60	1.52
THEZ	PUE	18.477554	97.383184	255.90	8.06
SUCH	GRO	17.226169	100.638345	271.10	0.38
TEAC	GRO	18.617630	99.454086	282.70	1.27
LMPP	PUE	19.001470	98.182270	295.90	0.83
SXPU	PUE	19.039943	98.215087	300.10	2.62
PHPU	PUE	19.044223	98.168466	300.70	4.05
OZST	VER	18.860758	97.094119	306.80	5.26
SCRU	OAX	16.187519	95.209239	327.80	0.50
TOTO	TLA	19.330241	98.256828	332.20	4.19
CMSG	CMX	19.255509	99.048218	334.20	2.41
CMP1	CMX	19.272467	99.120834	338.00	4.68
CMTD	CMX	19.295261	99.034431	338.10	4.52
CMEN	CMX	19.295514	99.102591	339.90	4.01

CMP5	CMX	19.307133	99.134384	342.10	4.40
CMMG	CMX	19.332018	99.115699	344.20	6.99
CMRM	CMX	19.347694	99.051460	344.20	5.73
PET2	GRO	17.535396	101.262608	345.40	0.24
CMCU	CMX	19.330278	99.181023	345.90	1.13
CUP5	CMX	19.330240	99.181076	345.90	1.13
CMEA	CMX	19.359965	99.095990	346.60	2.97
CMRC	CMX	19.355282	99.121243	346.80	2.78
CMFZ	CMX	19.384119	99.036316	347.70	6.11
TEJU	MEX	18.904051	100.159615	348.40	0.58
CM55	CMX	19.385019	99.064004	348.50	2.25
CMRA	CMX	19.382406	99.119846	349.70	3.21
CMPM	CMX	19.373000	99.191730	350.70	1.45
CMPR	CMX	19.411101	99.063118	351.30	2.72
SCT2	CMX	19.394694	99.148678	351.80	4.06
CMP7	CMX	19.419333	99.125786	353.80	3.07
TACY	CMX	19.404505	99.195246	354.20	1.21
CTCL	CMX	19.434521	99.133503	355.60	2.28
CMJC	CMX	19.452758	99.101430	356.70	3.22
CMCT	CMX	19.450048	99.137962	357.40	3.15
CMPI	MEX	19.485580	99.048683	358.90	3.05
CMP3	CMX	19.483149	99.093941	359.80	1.99
CMP9	CMX	19.485146	99.128349	360.90	2.37
CHPA	CHP	16.247374	93.912575	466.00	0.18
ACAM	GUA	20.043186	100.716777	485.70	0.26
CALE	MIC	18.072870	102.754441	514.40	0.09
MARU	MIC	18.276070	103.348790	581.20	0.06

El mapa preliminar de PGA a nivel nacional se obtuvo empleando el programa GenMaps y los datos registrados por la RAI-UNAM en tiempo real. La estimación de los parámetros del movimiento del terreno en sitios donde no se cuenta con una estación de registro sísmico se hizo a través del modelo de atenuación de Arroyo et al. (2010). El método de interpolación utilizado para generar el mapa fue el propuesto por Kitanidis (1986). La figura 2 muestra el mapa preliminar de la media cuadrática de las componentes horizontales de aceleración máxima del terreno (PGA_{rmsh}).

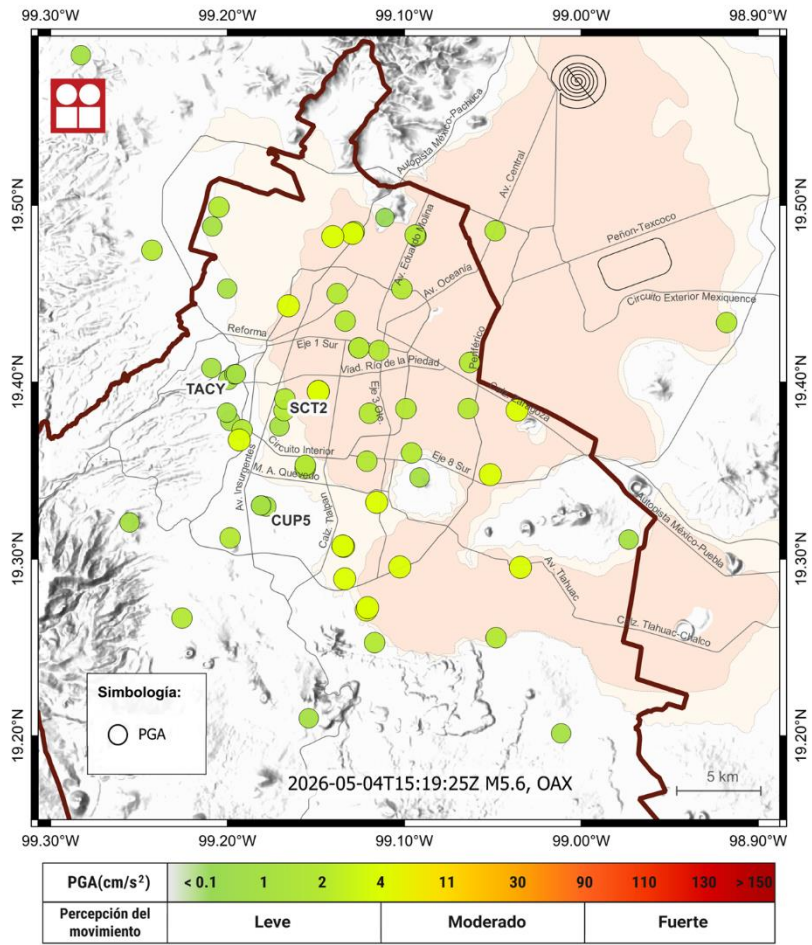


Figura 3. Mapa de Aceleración Máxima del Terreno (PGA_{rmsh}) en la Ciudad de México

Acelerogramas y Espectros de Respuesta

Las figuras 4a a 4h muestran los acelerogramas registrados en las estaciones operadas por el IINGEN y sus espectros de respuesta de aceleración (SA) con amortiguamiento del 5% del crítico, obtenidos para las tres componentes ortogonales del movimiento del suelo. La tabla 2 muestra los valores máximos de aceleración para cada estación y canal. Se incluyen los valores de aceleración espectral para los periodos $T = 0.1, 0.3, 0.5, 1.0, 1.5, 2.0$ y 3.0 s, indicando el valor máximo de SA y el periodo al cual está asociado.

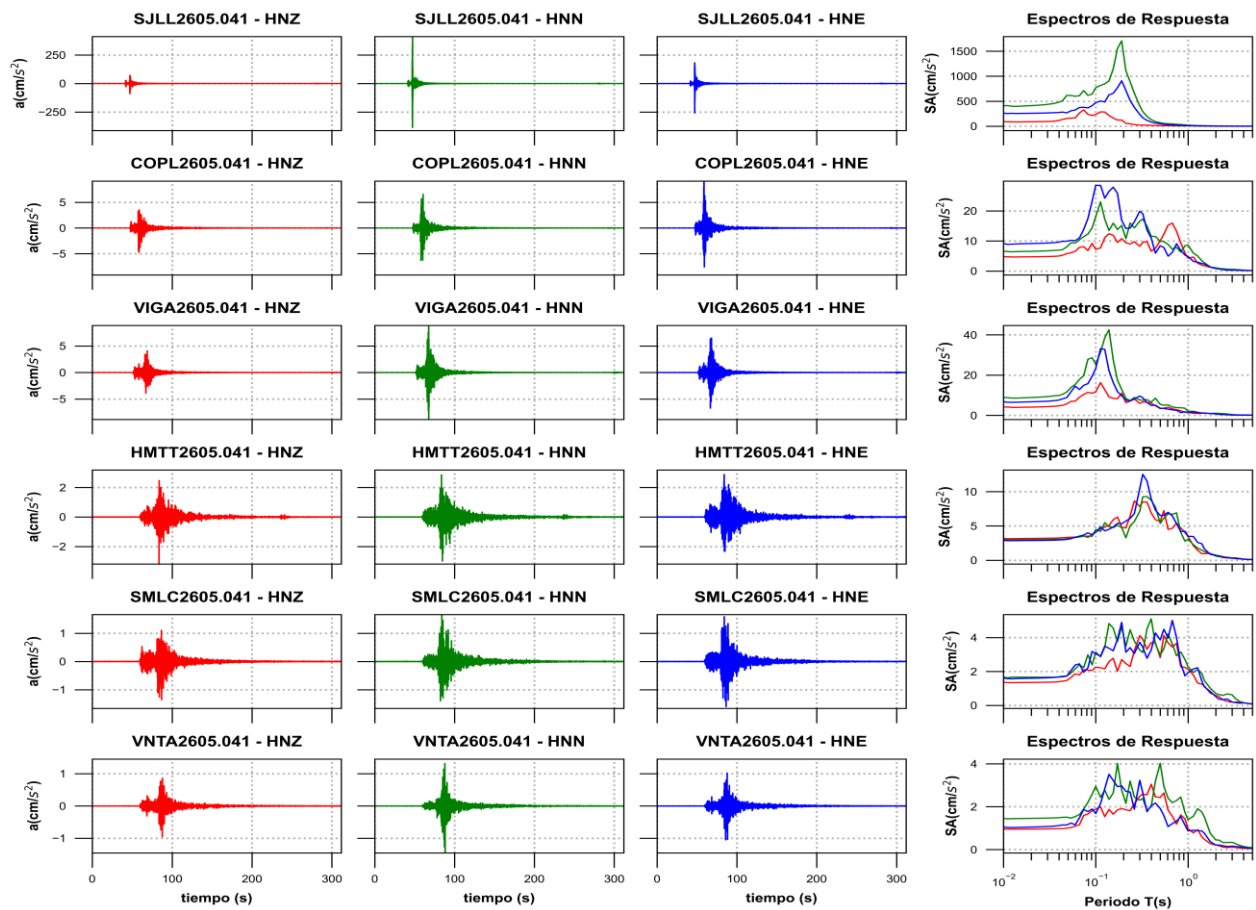


Figura 4a. Acelerogramas registrados y espectros de respuesta estimados para los registros obtenidos durante el sismo del 04 de mayo de 2026 (M5.6)

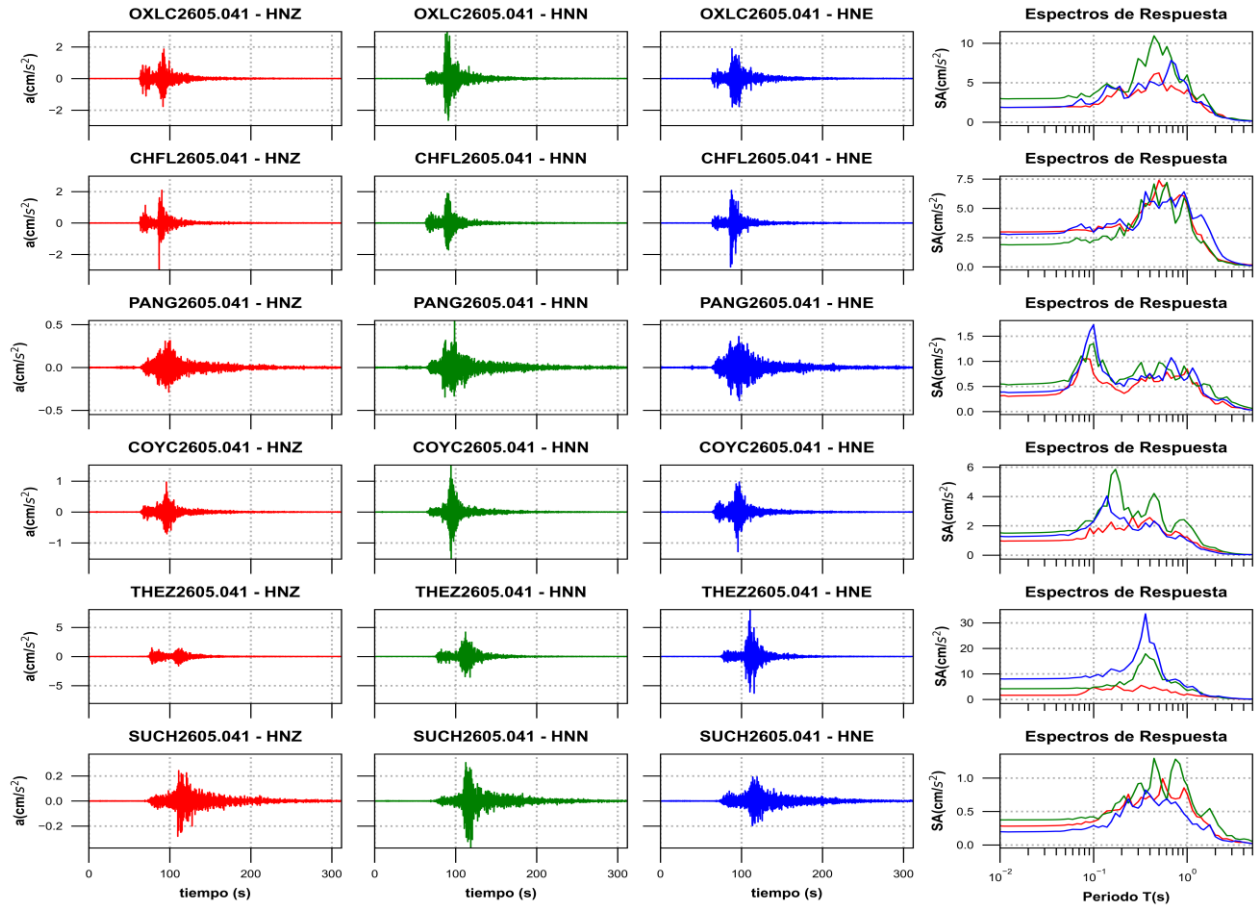


Figura 4b. Acelerogramas registrados y espectros de respuesta estimados para los registros obtenidos durante el sismo del 04 de mayo de 2026 (M5.6)

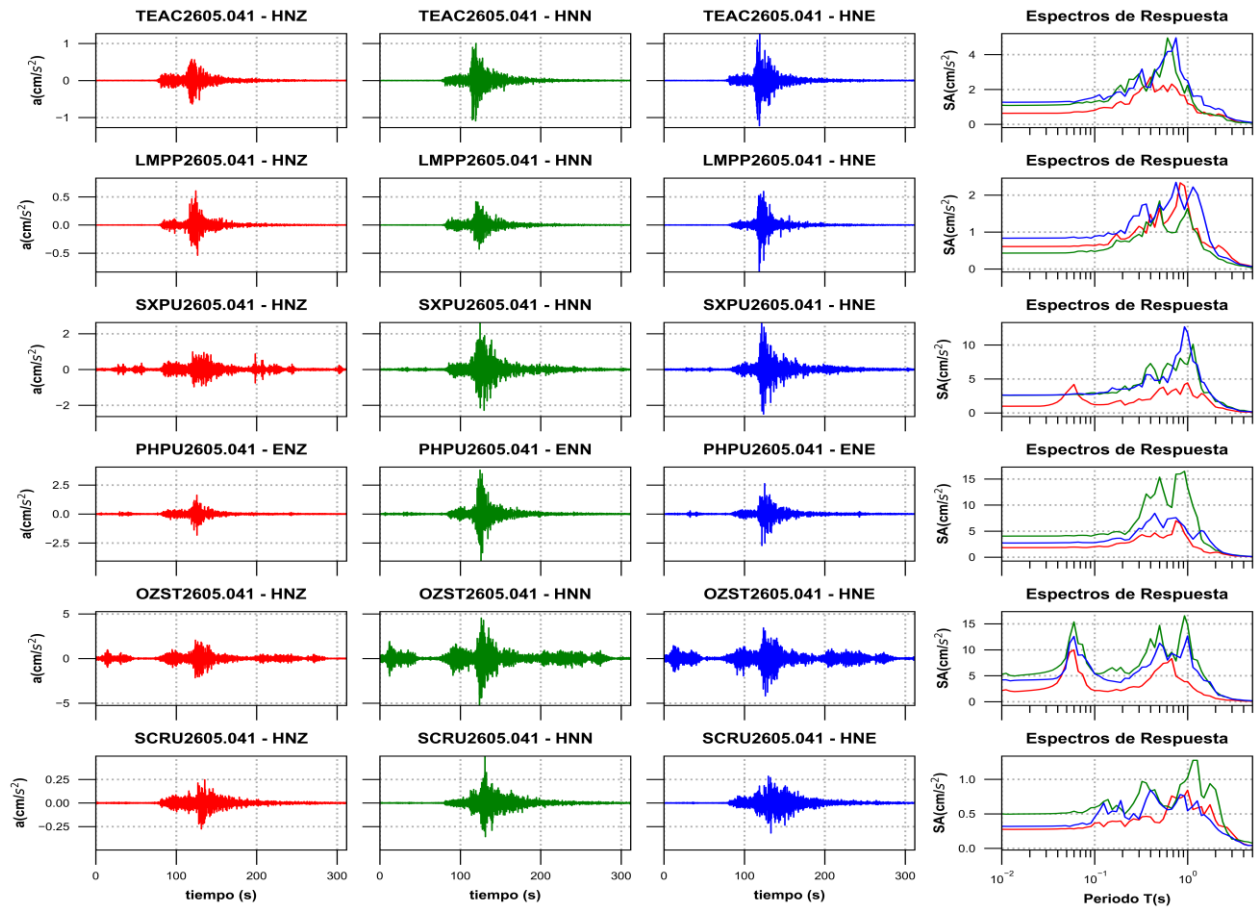


Figura 4c. Acelerogramas registrados y espectros de respuesta estimados para los registros obtenidos durante el sismo del 04 de mayo de 2026 (M5.6)

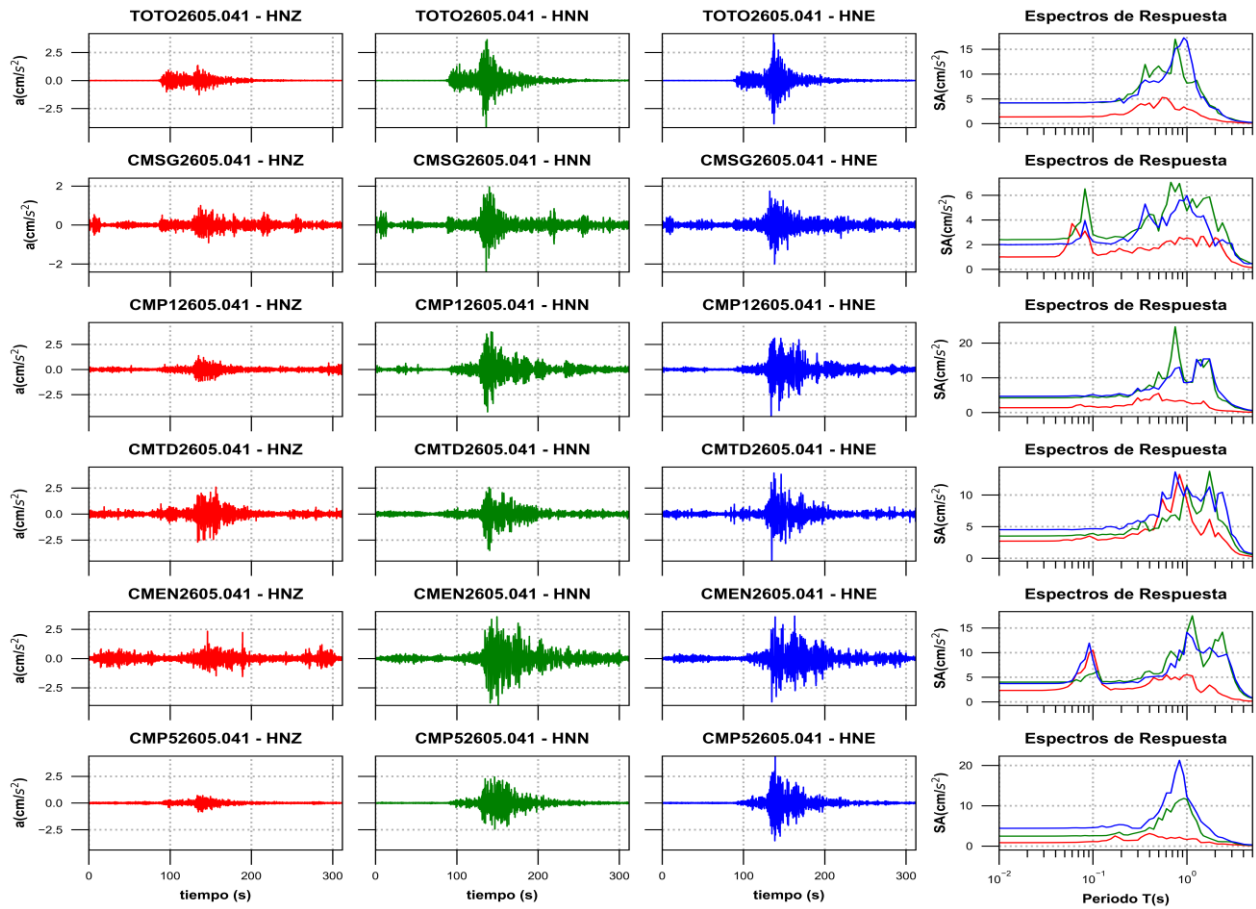


Figura 4d. Acelerogramas registrados y espectros de respuesta estimados para los registros obtenidos durante el sismo del 04 de mayo de 2026 (M5.6)

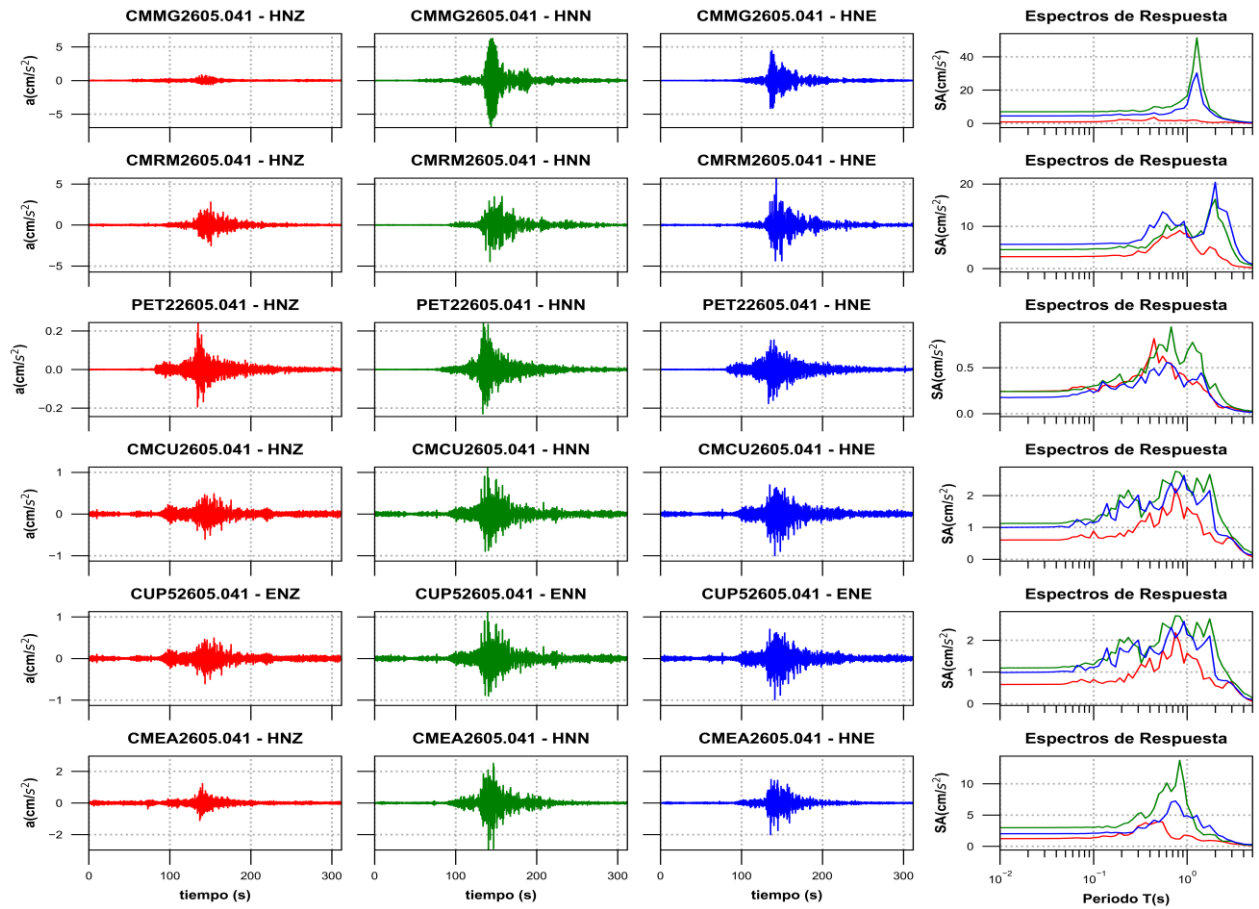


Figura 4e. Acelerogramas registrados y espectros de respuesta estimados para los registros obtenidos durante el sismo del 04 de mayo de 2026 (M5.6)

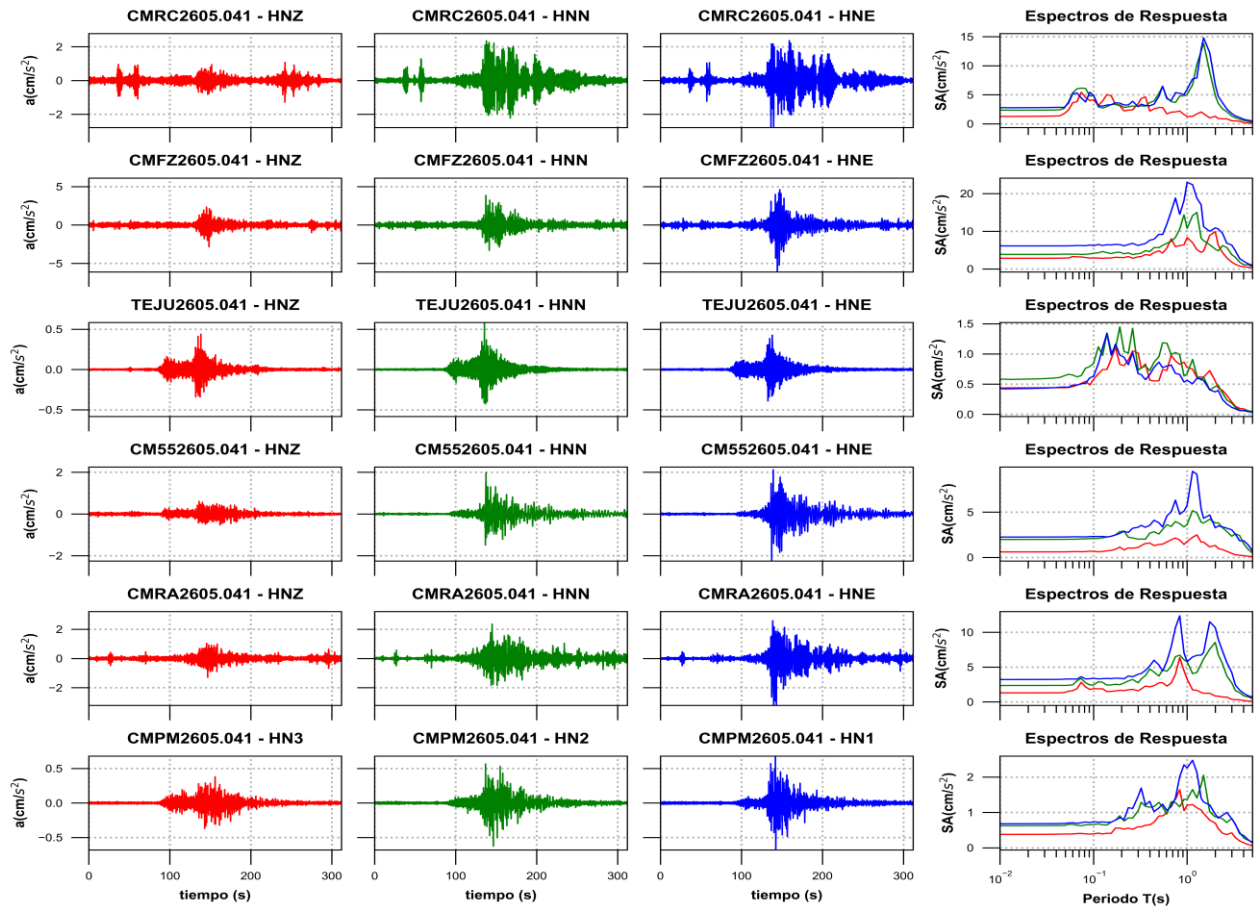


Figura 4f. Acelerogramas registrados y espectros de respuesta estimados para los registros obtenidos durante el sismo del 04 de mayo de 2026 (M5.6)

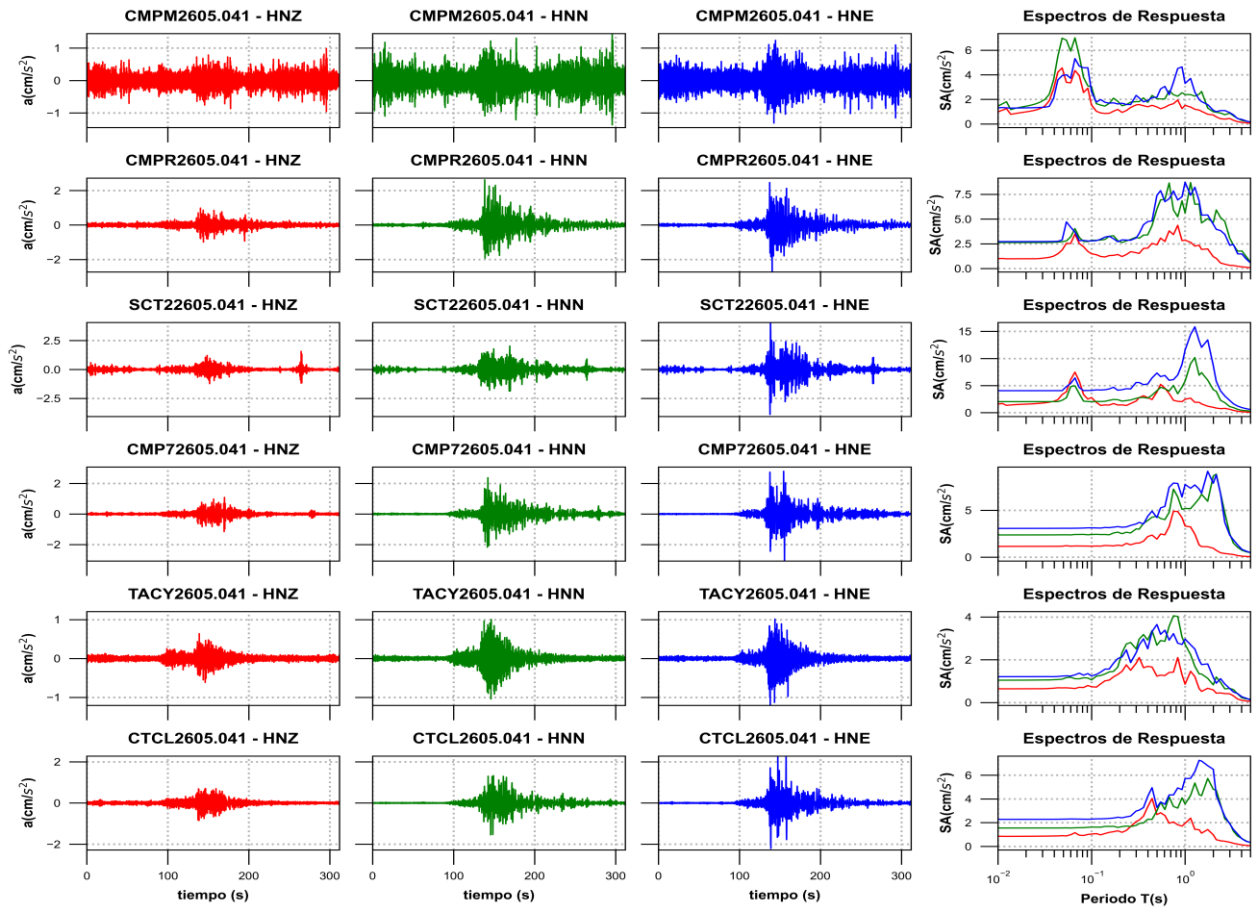


Figura 4g. Acelerogramas registrados y espectros de respuesta estimados para los registros obtenidos durante el sismo del 04 de mayo de 2026 (M5.6)

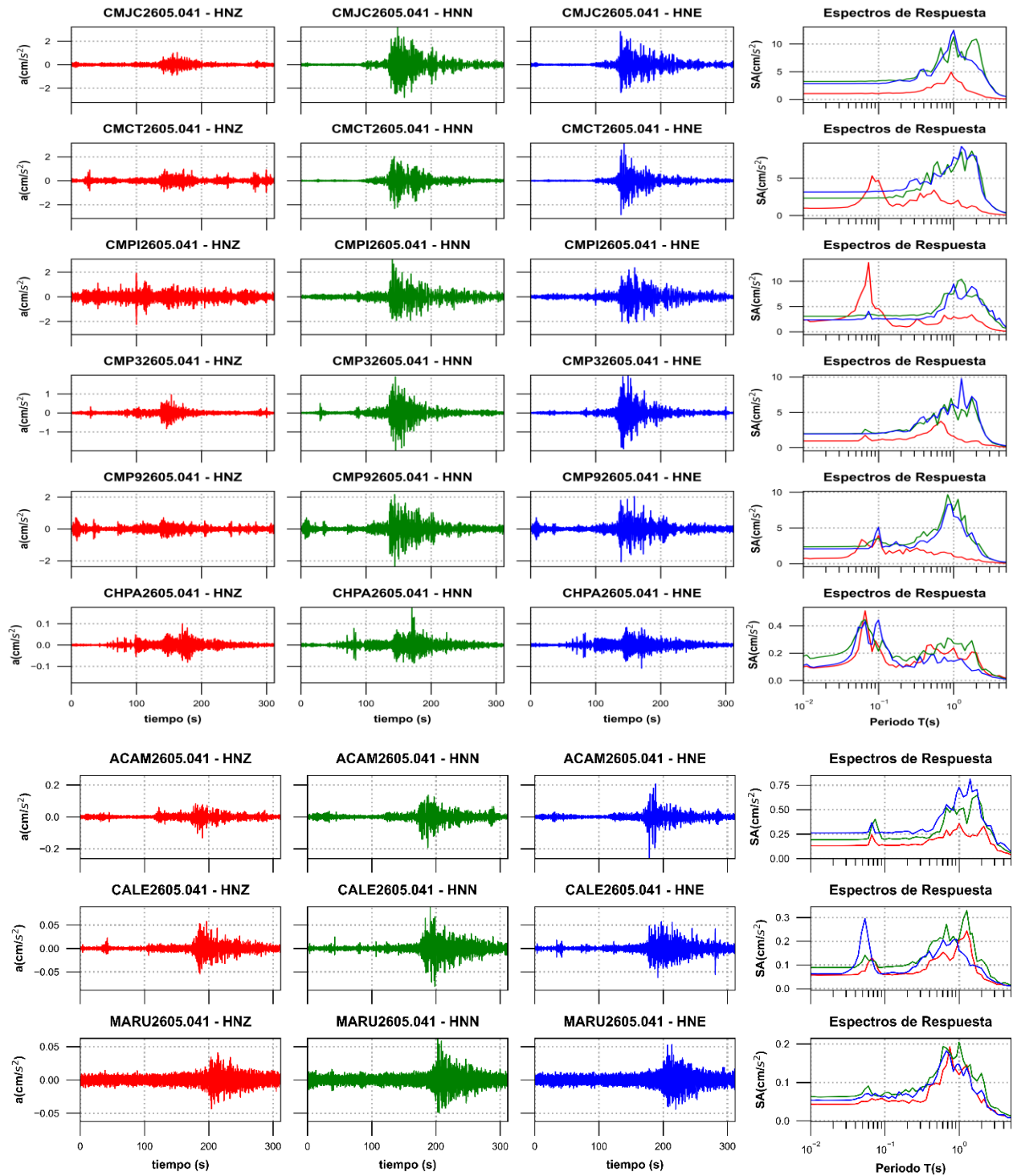


Figura 4h. Acelerogramas registrados y espectros de respuesta estimados para los registros obtenidos durante el sismo del 04 de mayo de 2026 (M5.6)

Tabla 2. Valores máximos de aceleración obtenidos para cada estación. Se incluyen los valores de aceleración espectral (SA) para los periodos T= 0.1, 0.3, 0.5, 1.0, 1.5, 2.0 y 3.0 s. Se indica el máximo valor de SA y el periodo asociado

Estación	Canal	PGA (cm/s ²)	Aceleración Espectral (SA)							TAmáx (s)	SAMáx (cm/s ²)
			T=0.1s	T=0.3s	T=0.5s	T=1s	T=1.5s	T=2s	T=3s		
SJLL	HNZ	89.05	234.81	23.54	11.26	6.85	3.65	1.95	0.59	0.07	327.49
SJLL	HNN	411.97	771.63	405.68	70.59	21.47	9.81	5.39	2.37	0.19	1708.33
SJLL	HNE	258.91	472.30	235.46	47.64	11.87	7.57	4.12	2.54	0.19	908.70
COPL	HNZ	4.75	7.19	8.25	10.05	4.31	1.80	0.94	0.31	0.68	15.93
COPL	HNN	6.57	18.09	16.59	9.89	8.65	2.82	1.09	0.58	0.11	23.00
COPL	HNE	9.15	28.49	19.88	8.43	4.83	2.37	0.84	0.32	0.10	28.49
VIGA	HNZ	4.10	11.69	5.97	3.37	1.42	1.05	0.73	0.18	0.11	16.26
VIGA	HNN	8.86	25.41	7.66	5.46	2.02	1.19	1.08	0.44	0.14	42.47
VIGA	HNE	6.73	23.29	9.61	3.54	1.46	1.17	0.72	0.17	0.11	33.17
HMTT	HNZ	3.18	4.10	7.85	5.67	3.48	0.95	0.74	0.29	0.26	8.64
HMTT	HNN	2.99	4.48	7.13	5.37	3.07	1.25	0.61	0.34	0.36	9.28
HMTT	HNE	2.88	4.08	10.46	6.52	3.50	1.67	0.70	0.33	0.32	12.52
SMLC	HNZ	1.35	2.26	4.12	2.82	2.13	1.15	0.59	0.19	0.55	4.12
SMLC	HNN	1.66	3.15	3.26	2.97	2.28	1.47	0.70	0.62	0.40	5.11
SMLC	HNE	1.60	3.03	3.73	3.86	1.92	1.10	0.52	0.20	0.68	5.01
VNTA	HNZ	0.96	1.88	2.49	2.43	0.97	0.48	0.21	0.11	0.40	3.05
VNTA	HNN	1.45	2.95	2.31	4.02	1.40	1.53	0.45	0.34	0.50	4.02
VNTA	HNE	1.05	1.68	3.23	1.91	0.87	0.76	0.21	0.16	0.14	3.51
OXLC	HNZ	1.87	2.28	4.13	6.24	4.06	1.97	1.11	0.39	0.50	6.24
OXLC	HNN	2.97	3.60	8.06	9.94	5.98	3.53	1.20	0.51	0.44	10.94
OXLC	HNE	1.88	2.41	4.92	4.64	4.73	2.26	0.89	0.35	0.68	7.82
CHFL	HNZ	2.99	3.02	4.50	7.39	5.24	2.13	0.84	0.35	0.50	7.39
CHFL	HNN	1.90	2.27	4.26	5.25	5.51	2.22	0.88	0.29	0.61	7.21
CHFL	HNE	2.80	2.96	3.62	5.01	5.74	4.16	2.01	0.46	0.36	6.43
PANG	HNZ	0.31	0.75	0.58	0.60	0.85	0.31	0.15	0.08	0.08	1.05
PANG	HNN	0.55	1.35	0.89	0.98	0.80	0.55	0.30	0.19	0.10	1.35
PANG	HNE	0.39	1.73	0.62	0.71	0.66	0.36	0.23	0.14	0.10	1.73
COYC	HNZ	0.97	1.45	1.86	2.05	1.23	0.52	0.33	0.14	0.26	2.64
COYC	HNN	1.52	2.30	3.01	3.67	2.22	0.68	0.50	0.13	0.17	5.85
COYC	HNE	1.29	2.30	1.68	2.02	1.02	0.40	0.20	0.07	0.14	4.03
THEZ	HNZ	1.63	4.72	4.54	4.06	2.07	1.28	0.80	0.29	0.17	5.53
THEZ	HNN	4.20	4.82	13.12	11.05	3.44	1.99	1.02	0.38	0.36	17.86
THEZ	HNE	8.06	9.12	20.20	15.75	4.78	2.02	1.15	0.50	0.36	33.54
SUCH	HNZ	0.28	0.35	0.65	0.75	0.77	0.36	0.15	0.07	0.55	0.99
SUCH	HNN	0.38	0.42	0.92	1.08	0.89	0.46	0.39	0.14	0.44	1.30
SUCH	HNE	0.20	0.29	0.55	0.59	0.42	0.23	0.12	0.05	0.36	0.82
TEAC	HNZ	0.64	0.80	1.86	2.01	1.20	0.70	0.52	0.26	0.40	2.71
TEAC	HNN	1.09	1.30	2.89	2.71	2.25	0.61	0.51	0.19	0.61	4.96
TEAC	HNE	1.27	1.56	2.79	3.30	2.51	1.10	0.86	0.33	0.75	4.96

LMPP	HNZ	0.61	0.63	1.15	1.64	1.78	0.72	0.56	0.29	0.83	2.33
LMPP	HNN	0.43	0.47	0.94	1.84	1.64	0.53	0.34	0.15	0.50	1.84
LMPP	HNE	0.83	0.88	1.44	1.75	1.87	1.42	0.47	0.23	0.75	2.34
SXPU	HNZ	0.99	1.21	2.06	3.55	4.42	2.69	0.88	0.36	1.00	4.42
SXPU	HNN	2.60	2.97	4.19	4.32	7.12	2.97	1.69	0.79	1.14	10.11
SXPU	HNE	2.62	2.77	4.16	4.80	11.81	4.46	2.00	0.68	0.93	12.68
PHPU	ENZ	1.83	1.99	3.99	3.92	3.69	1.04	0.93	0.30	0.75	6.98
PHPU	ENN	4.05	4.24	7.53	15.35	13.43	2.77	1.30	0.47	0.93	16.47
PHPU	ENE	2.72	2.78	5.51	6.70	4.79	4.90	1.91	0.48	0.44	8.41
OZST	HNZ	2.16	2.16	2.81	6.65	3.88	1.31	0.64	0.30	0.06	9.98
OZST	HNN	5.26	5.46	6.91	14.69	14.81	5.02	1.96	0.55	0.93	16.54
OZST	HNE	4.19	5.36	5.97	11.27	12.66	4.11	1.97	0.54	1.00	12.66
SCRU	HNZ	0.28	0.36	0.41	0.37	0.84	0.49	0.41	0.22	1.00	0.84
SCRU	HNN	0.50	0.59	0.80	0.68	1.02	0.73	0.85	0.13	1.27	1.27
SCRU	HNE	0.32	0.45	0.43	0.65	0.54	0.49	0.31	0.16	0.40	0.85
TOTO	HNZ	1.35	1.45	3.62	4.20	3.00	1.44	0.83	0.35	0.55	5.28
TOTO	HNN	4.17	4.27	7.12	11.60	8.16	5.81	3.24	1.00	0.75	17.02
TOTO	HNE	4.19	4.28	5.80	8.31	16.67	5.38	2.98	0.81	0.93	17.29
CMSG	HNZ	1.00	1.37	1.72	1.68	2.55	2.67	2.56	0.63	0.06	3.70
CMSG	HNN	2.41	2.82	3.27	3.10	4.73	5.72	4.04	1.73	0.68	7.04
CMSG	HNE	2.00	2.25	3.17	3.37	5.96	4.34	1.88	2.09	1.00	5.96
CMP1	HNZ	1.39	1.74	4.23	5.50	2.97	3.29	0.81	0.42	0.50	5.50
CMP1	HNN	4.23	4.59	6.44	11.67	8.79	12.98	6.52	2.13	0.75	24.66
CMP1	HNE	4.68	5.16	7.00	6.70	8.54	15.42	8.65	2.40	1.74	15.44
CMTD	HNZ	2.71	3.28	3.78	6.93	9.10	4.04	3.39	1.49	0.83	13.25
CMTD	HNN	3.52	3.92	4.55	4.75	11.50	8.77	9.23	3.28	1.74	13.74
CMTD	HNE	4.52	4.67	5.97	6.50	11.28	9.59	7.37	3.82	0.75	13.65
CMEN	HNZ	2.33	10.48	2.88	4.45	5.51	2.22	2.61	0.65	0.10	10.48
CMEN	HNN	4.01	5.68	4.71	5.69	14.11	7.14	12.66	6.25	1.14	17.46
CMEN	HNE	3.72	8.58	3.90	5.24	14.11	9.90	9.91	6.98	1.00	14.11
CMP5	HNZ	0.84	1.09	1.45	2.23	1.63	0.87	0.61	0.35	0.40	3.09
CMP5	HNN	2.45	2.57	3.33	7.00	11.57	2.53	1.39	1.00	0.93	11.79
CMP5	HNE	4.40	4.54	4.38	8.36	12.21	5.55	2.77	1.09	0.83	21.26
CMMG	HNZ	0.86	1.00	1.70	1.72	1.56	0.98	0.50	0.51	0.44	3.59
CMMG	HNN	6.99	7.10	7.24	9.82	16.29	20.59	6.73	2.05	1.27	51.39
CMMG	HNE	4.46	4.54	5.34	5.32	11.42	11.59	4.69	1.77	1.27	30.27
CMRM	HNZ	2.81	2.88	4.19	6.62	8.39	3.37	4.49	0.89	0.83	9.01
CMRM	HNN	4.48	4.66	4.78	7.53	9.55	8.13	16.39	4.96	2.00	16.39
CMRM	HNE	5.73	5.82	6.70	11.60	7.43	8.27	20.38	9.07	2.00	20.38
PET2	HNZ	0.24	0.27	0.42	0.55	0.37	0.26	0.12	0.07	0.44	0.82
PET2	HNN	0.24	0.30	0.42	0.75	0.67	0.44	0.33	0.08	0.68	0.94
PET2	HNE	0.18	0.23	0.35	0.41	0.34	0.40	0.13	0.05	0.61	0.56
CMCU	HNZ	0.60	0.89	1.11	1.13	1.62	0.76	0.57	0.69	0.75	2.22
CMCU	HNN	1.13	1.18	1.84	1.92	2.33	2.10	1.92	0.71	0.75	2.76
CMCU	HNE	1.00	1.14	2.01	1.55	2.19	1.90	0.93	0.63	0.93	2.63

CUP5	ENZ	0.61	0.76	1.09	1.13	1.59	0.77	0.57	0.69	0.75	2.24
CUP5	ENN	1.13	1.23	1.78	1.95	2.34	2.10	1.92	0.72	0.75	2.77
CUP5	ENE	0.99	1.14	2.00	1.55	2.18	1.89	0.90	0.63	0.93	2.59
CMEA	HNZ	1.23	1.37	3.24	3.95	1.75	0.86	0.89	0.40	0.50	3.95
CMEA	HNN	2.97	2.99	5.21	8.37	6.74	1.83	1.79	0.79	0.83	13.75
CMEA	HNE	2.01	2.08	3.06	3.87	4.89	2.93	2.25	0.86	0.75	7.24
CMRC	HNZ	1.29	4.14	3.46	2.81	1.27	1.76	1.29	0.51	0.07	5.43
CMRC	HNN	2.35	4.89	3.05	5.25	5.05	13.89	4.88	1.34	1.50	13.89
CMRC	HNE	2.78	4.91	2.95	4.73	5.95	14.81	6.70	1.77	1.50	14.81
CMFZ	HNZ	2.83	2.90	3.21	4.81	8.33	4.77	9.90	1.80	2.00	9.90
CMFZ	HNN	3.86	4.15	4.03	5.66	10.75	7.52	5.26	3.81	1.27	15.00
CMFZ	HNE	6.11	6.17	6.23	9.20	22.99	11.22	10.91	6.33	1.00	22.99
TEJU	HNZ	0.44	0.58	1.02	0.56	0.78	0.62	0.55	0.21	0.17	1.11
TEJU	HNN	0.58	0.84	0.73	0.96	0.67	0.62	0.46	0.18	0.19	1.45
TEJU	HNE	0.43	0.63	0.67	0.86	0.56	0.56	0.37	0.12	0.14	1.34
CM55	HNZ	0.61	0.68	1.10	1.44	1.75	1.69	1.32	0.45	1.27	2.49
CM55	HNN	1.99	2.08	2.01	2.59	3.65	3.80	3.81	2.34	1.14	5.16
CM55	HNE	2.25	2.31	3.33	3.82	5.74	4.32	3.27	3.04	1.14	9.50
CMRA	HNZ	1.29	1.90	1.59	2.72	3.27	1.24	0.83	0.36	0.83	6.36
CMRA	HNN	2.36	2.44	2.74	3.71	5.76	6.18	8.55	2.73	2.00	8.55
CMRA	HNE	3.21	3.39	3.96	5.30	5.77	7.10	10.68	4.22	0.83	12.36
CMPM	HN3	0.38	0.39	0.60	0.90	1.20	0.98	0.70	0.42	0.83	1.64
CMPM	HN2	0.63	0.66	1.05	1.28	1.37	2.05	0.87	0.83	1.50	2.05
CMPM	HN1	0.68	0.74	1.46	1.13	2.26	1.29	0.95	0.82	1.14	2.47
CMPM	HNZ	0.98	1.54	1.55	1.38	1.51	1.03	0.74	0.44	0.05	4.56
CMPM	HNN	1.45	3.02	1.82	2.06	2.40	2.65	0.99	0.88	0.07	7.01
CMPM	HNE	1.31	2.63	2.33	2.18	3.30	1.82	1.11	0.92	0.07	5.32
CMPR	HNZ	0.99	1.49	1.60	2.39	2.87	1.93	1.20	0.33	0.83	4.37
CMPR	HNN	2.63	2.86	3.17	6.01	5.62	4.60	4.66	3.06	1.14	8.68
CMPR	HNE	2.72	2.79	3.09	7.40	8.71	5.40	4.47	2.35	1.00	8.71
SCT2	HNZ	1.57	2.78	2.14	3.80	2.47	1.61	0.98	0.62	0.07	7.48
SCT2	HNN	2.03	2.03	2.64	4.05	5.83	7.40	4.25	1.12	1.27	10.18
SCT2	HNE	4.06	4.10	5.57	7.31	11.55	12.05	8.69	2.24	1.27	15.85
CMP7	HNZ	1.16	1.18	1.50	1.93	3.32	1.13	0.96	0.33	0.75	4.89
CMP7	HNN	2.38	2.42	3.02	4.36	5.19	6.71	8.66	2.50	2.15	8.85
CMP7	HNE	3.07	3.13	3.55	4.22	7.75	6.82	7.88	2.35	1.74	9.15
TACY	HNZ	0.64	0.74	1.84	1.23	0.86	0.52	0.59	0.41	0.32	2.11
TACY	HNN	1.04	1.06	2.51	2.68	2.72	1.33	0.83	0.66	0.75	4.06
TACY	HNE	1.21	1.24	2.33	3.65	2.97	1.78	1.18	0.66	0.50	3.65
CTCL	HNZ	0.85	1.04	2.09	2.68	1.94	1.11	0.98	0.35	0.44	4.04
CTCL	HNN	1.55	1.62	1.77	3.00	3.58	4.27	4.81	1.97	1.74	5.72
CTCL	HNE	2.28	2.29	2.98	3.28	5.71	7.19	6.50	1.90	1.41	7.25
CMJC	HNZ	1.04	1.05	1.30	2.08	4.03	1.63	1.07	0.32	0.93	4.92
CMJC	HNN	3.22	3.33	3.85	4.93	11.28	8.75	10.88	2.75	1.00	11.28
CMJC	HNE	2.83	2.83	3.51	4.23	12.45	7.21	6.17	2.71	1.00	12.45

CMCT	HNZ	0.98	4.73	2.01	2.92	1.67	0.99	1.13	0.28	0.08	5.32
CMCT	HNN	2.32	2.36	3.36	4.34	6.25	7.37	7.33	1.65	1.74	8.63
CMCT	HNE	3.15	3.24	4.79	4.18	7.83	7.52	7.92	1.68	1.27	9.25
CMPI	HNZ	2.24	4.58	1.83	1.46	2.94	2.76	2.34	0.75	0.07	13.73
CMPI	HNN	3.05	3.19	3.32	3.52	7.58	7.15	7.34	3.38	1.27	10.42
CMPI	HNE	2.36	2.61	2.44	3.03	9.45	7.61	8.32	4.03	1.00	9.45
CMP3	HNZ	0.95	1.08	1.47	2.49	1.61	0.77	0.96	0.34	0.68	3.74
CMP3	HNN	1.99	2.08	2.97	4.26	5.65	4.38	5.08	1.07	1.74	7.01
CMP3	HNE	1.95	2.03	3.25	4.20	6.09	5.51	6.53	1.12	1.27	9.77
CMP9	HNZ	0.75	3.94	2.01	1.63	1.01	0.58	0.44	0.20	0.10	3.94
CMP9	HNN	2.37	3.54	3.01	4.45	7.46	4.50	2.68	0.68	0.83	9.66
CMP9	HNE	2.07	5.08	2.34	3.44	6.63	3.79	2.89	0.76	0.93	8.32
CHPA	HNZ	0.10	0.25	0.14	0.26	0.24	0.16	0.20	0.04	0.07	0.51
CHPA	HNN	0.18	0.21	0.18	0.19	0.27	0.25	0.18	0.06	0.07	0.44
CHPA	HNE	0.11	0.44	0.10	0.19	0.14	0.11	0.08	0.04	0.10	0.44
ACAM	HNZ	0.13	0.14	0.14	0.21	0.36	0.24	0.30	0.14	1.00	0.36
ACAM	HNN	0.19	0.20	0.22	0.27	0.50	0.61	0.54	0.21	1.74	0.65
ACAM	HNE	0.26	0.26	0.29	0.39	0.73	0.68	0.42	0.23	1.41	0.81
CALE	HNZ	0.06	0.06	0.07	0.13	0.20	0.14	0.06	0.02	1.27	0.24
CALE	HNN	0.09	0.09	0.13	0.20	0.21	0.23	0.12	0.04	1.27	0.33
CALE	HNE	0.06	0.06	0.12	0.15	0.16	0.10	0.09	0.03	0.05	0.30
MARU	HNZ	0.04	0.05	0.05	0.10	0.12	0.08	0.05	0.03	0.75	0.19
MARU	HNN	0.06	0.07	0.08	0.13	0.20	0.12	0.12	0.03	1.00	0.20
MARU	HNE	0.05	0.06	0.09	0.12	0.15	0.08	0.08	0.02	0.68	0.18

Las figuras 5 y 6 muestran los espectros de respuesta de la estación CUP5 y SCT2, respectivamente, con los espectros de diseño y de peligro uniforme de acuerdo con la norma vigente NTC-2017.

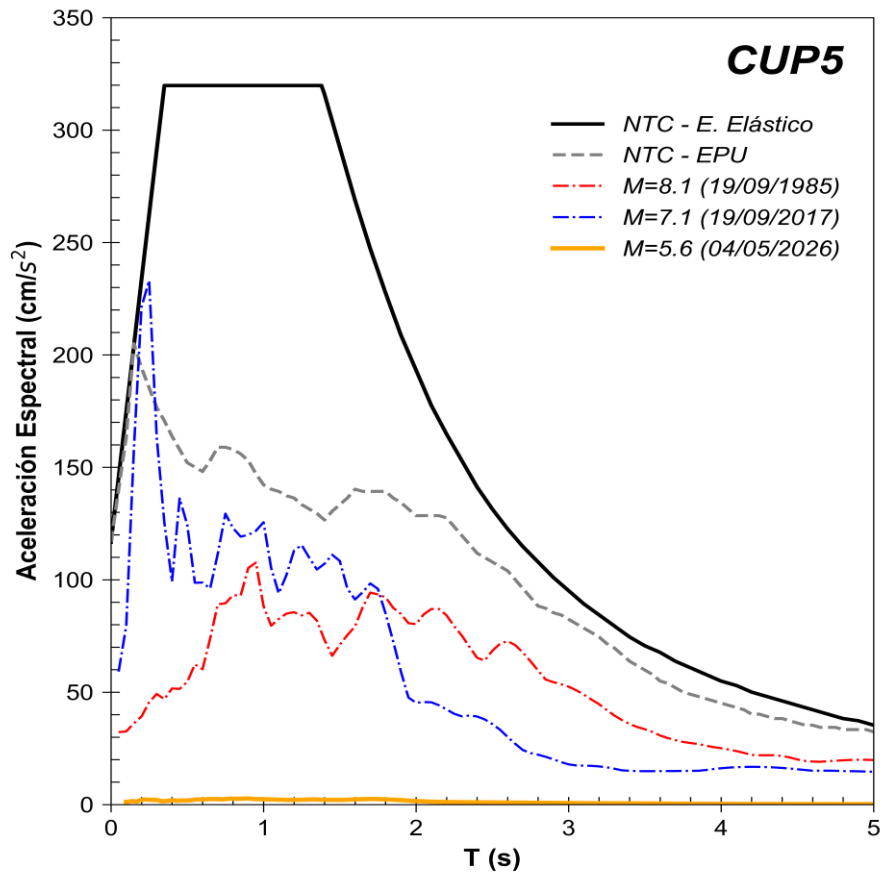


Figura 5. Comparación del espectro de respuesta (ER) del sismo registrado en la estación **CUP5** con el espectro elástico de diseño (EDS) y de peligro uniforme (EPU) obtenidos del SASID. La línea discontinua de color rojo y azul corresponden a los ER de los sismos del 19 septiembre de 1985 y 2017, respectivamente. Todos los ER graficados corresponden a la media cuadrática de sus componentes horizontales.

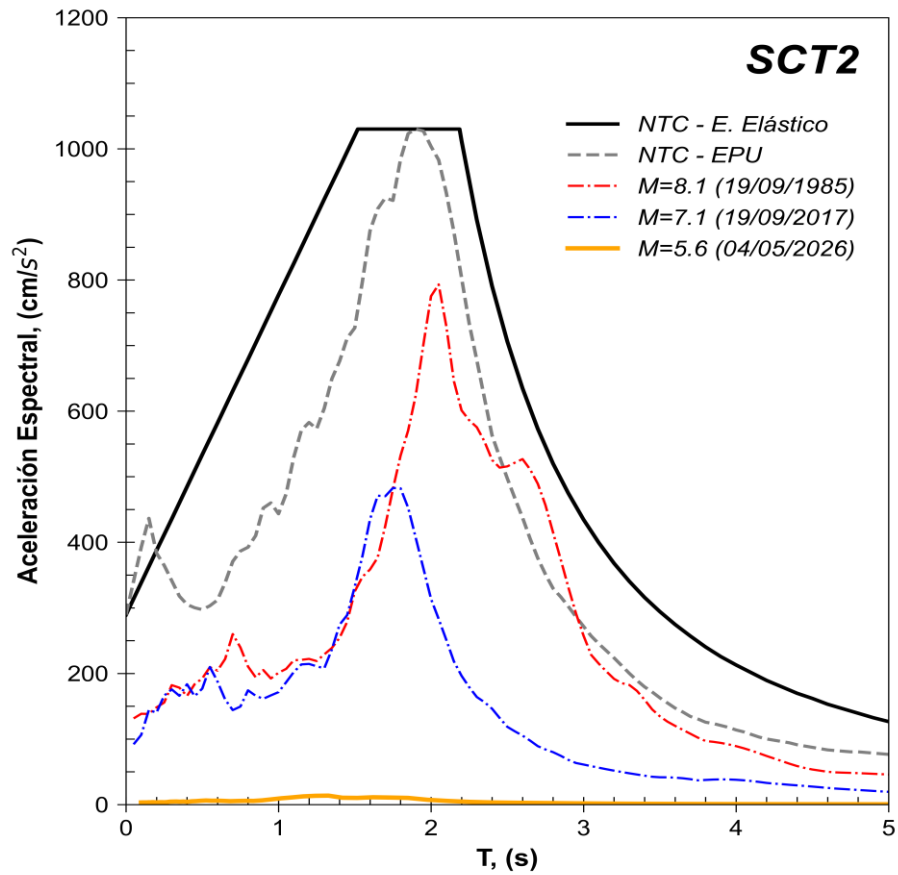


Figura 6. Comparación del espectro de respuesta (ER) del sismo registrado en la estación **SCT2** con el espectro elástico de diseño (EDS) y de peligro uniforme (EPU) obtenidos del SASID. La línea discontinua de color rojo y azul corresponden a los ER de los sismos del 19 septiembre de 1985 y 2017, respectivamente. Todos los ER graficados corresponden a la media cuadrática de sus componentes horizontales.

Referencias

Arroyo, D., García, D., Ordaz, M., Mora M.A. y Singh S.K. (2010). Strong ground-motion relations for Mexican interplate earthquakes. *J. Seismol.* (2010) 14: 769. <https://doi.org/10.1007/s10950-010-9200-0>

Kitanidis, P., (1986). Parameter uncertainty in estimation of spatial functions: Bayesian analysis. *Water Resources Research*, 22(4), 499-507.

Servicio Sismológico Nacional, Instituto de Geofísica, Universidad Nacional Autónoma de México, México. (04 de mayo de 2026) <http://www.ssn.unam.mx>